

東京都立大学 正員 村田二郎

1 まえがき

ワーカビリティー、コンシスティンシー、フィニッシュアビリティーなどの未だ固まらないコンクリートの性質は、それぞれ定義づけがなされているが、実体は極めて複雑であって、これらを適格に評価することは難かしい。従来硬化したコンクリートの諸性質については応用力学の助をかりて可成り解析が進んでいる。これと同様にまだ固まらないコンクリートの諸性質の解析にもある大系づけられた学問の力をかりることが必要である。ワーカビリティー、フィニッシュアビリティーなどの複雑な性質をより明確に理解し、さらにこれをコンクリート施工の合理化に応用できるようすすめには、未だ固まらないコンクリートのレオロジー的性質に着目し、レオロジーの力をかりることが最も有力な手段と考えられる。

本文は まだ固まらないコンクリートの諸性質のレオロジー解析に関する 2, 3 の考察を述べると共に、レオロジー解析を進めるうえに最初に問題となるレオメーターの機能、設計について述べている。

2. コンクリートの流動曲線

流動現象を応力一ひずみ速度関係で示したものと流動曲線（コンシスティンシー曲線）という。流動曲線には、

図 1 に示すように原点を通るものと、 τ_0 軸上の点から出発するものとかある。これら

のうち、線型のものをそれぞれ Newton 流動及び Bingham 流動という。これらのレオロジー基礎式は

$$\text{Newton 流動 } \tau = \eta \dot{\gamma} \quad \dots \dots \dots (1)$$

$$\text{Bingham 流動 } \tau = \eta_p \dot{\gamma} + \tau_f \quad \dots \dots \dots (2)$$

ここに η : 粘性係数、 η_p : 塑性粘度、 τ_f : 降伏値

流動曲線を求めるには粘度試験を行なう。未だ固まらないコンクリートの粘度試験には二重円筒型回転粘度計を用ひるのが適切である。

回転粘度計によつて求めた典型的なコンクリートの流動曲線を図 2 に示す。図 2 において、 τ_b は流動開始応力（降伏値）、 M_s

図 1 各種流体のコンシスティンシー曲線

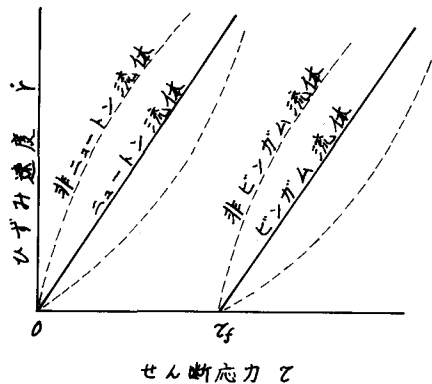
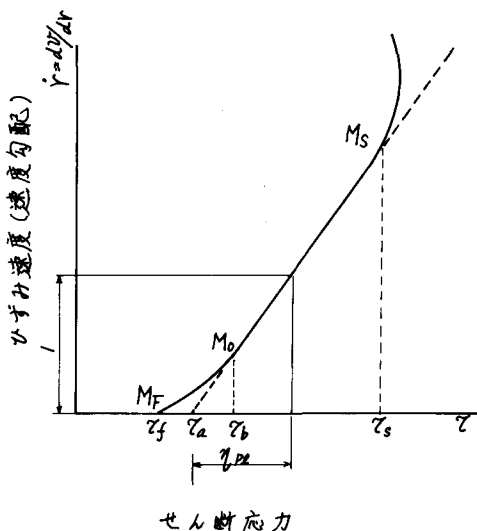


図 2 回転粘度計によるコンクリートのコンシスティンシー曲線



は全試料流動開始応力で、(図3参照)全試料が流動を始めたのちは流動曲線は線形を呈する。従て未だ固まらないコンクリートはピンガム体と見なすことができる。この回転系に基礎式(2)を適用する。すなわち $M = 2\pi r^2 h T$, $\dot{\gamma}_f = d\dot{\theta}_i / dr$

$$M \cdot \pi r^2 h = r d\dot{\theta}_i / dr + \tau_f \quad \dots \dots \dots (3)$$

$\dot{\theta}_i$: ロータの角速度

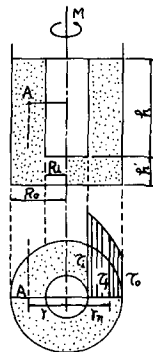
$$\tau_f \leq \tau \leq \tau_b \quad \eta_{pl} \dot{\theta}_i = \frac{M}{4\pi h} \left(\frac{1}{R_0^2} - \frac{1}{R_h^2} \right) - \tau_f / h \cdot \frac{R_0}{R_h} \quad \dots \dots \dots (4)$$

$$R_h = \sqrt{\frac{M}{2\pi h \tau_f}}$$

$$\tau \geq \tau_b \quad \eta_{pl} \dot{\theta}_i = \frac{M}{4\pi h} \left(\frac{1}{R_0^2} - \frac{1}{R_i^2} \right) - \tau_f / h \cdot \frac{R_0}{R_i} \quad \dots \dots \dots (5)$$

また τ_b は直線部から外れるときの応力であって、 τ_b 以後の曲線の形、試料コンクリートの状態から判断して、コンクリートが分散を始めるときの応力と考えることができる。

図3 二重円筒式回転粘度計
(内円筒回転型)

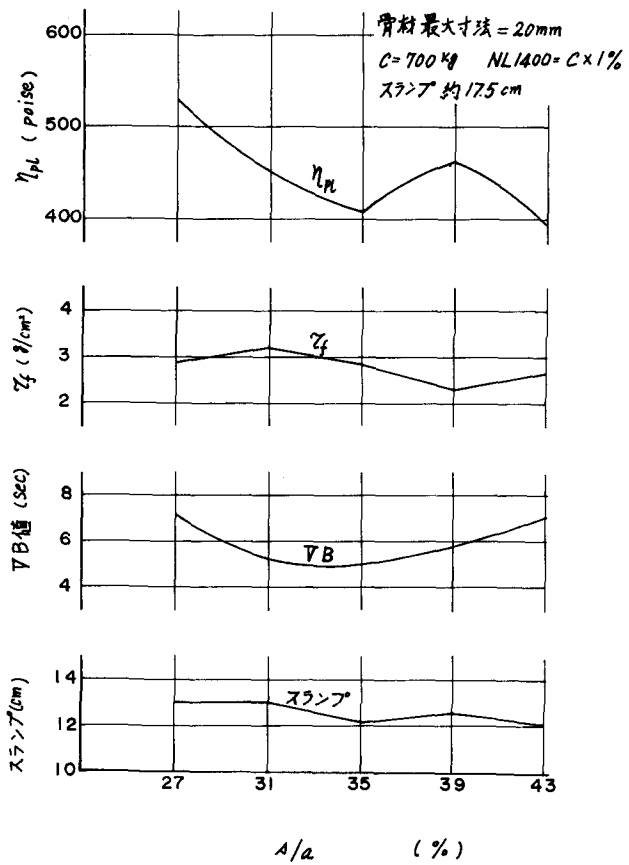


3. 未だ固まらないコンクリートの諸性質のレオロジー解析

(1) 最適細骨材率 最適細骨材率は VB 試験によって判定できるが、硬練りコンクリートに限られる。 η_{pl} , τ_f はコンクリートの流動抵抗を示す数量であるから、これらによつても a/a の適正値を定められると考えられる。図4は単位セメント量を一定とし、スランプを一定に保ちながら a/a を変化させたときの流動特性を示したものである。 η_{pl} の最小値から a/a の適正値を容易に判定できるが、 a/a が増加すると η_{pl} は再び減少する。これはコンクリートを高濃度サスペンションと考えたときの溶媒量(モルタル)の減少が η_{pl} を低下させるものと考えられる。ではスランプと密接な関係がある。

(2) フィニッシュシャビリチー フィニッシュシャビリチーを数量的に示すことは極めて困難である。ではコンクリート面上にスレ力を与えたときの降伏応力である。ならし仕上げはコンクリート表面にスレ力を与えることになるから、 τ_f が小さい程仕上げが容易になると考えられる。一般的にいって、フィニッシュシャビリチーのよいコンクリートとは、

図4 a/a と η_{pl} , τ_f , VB 値およびスランプの関係



仕上げが容易でかつ分離の少いもの、流動曲線で示せば図5の④線であらわせよう。

フィニッシュシャッピリーナー改善剤を用いたモルタルの η_{pl} の試験値は図6のようであって、配合を同じくした減水剤使用モルタル及びブレーンセルタルにくらべては小さく、 η_{pl} は幾分大となっている。

(3) ポンパビリーナー ポンプによって輸送管内を圧送されるコンクリートは、駆動力をうけるビンガム体の管内流れと同様に考えることができる。

図7を参照して $\Delta P R l = 2 \pi \gamma l \tau$ で $\tau = \Delta P \frac{R}{2l}$ (6)
レオロジー基礎式(2)を適用す。

$$\eta_{pl} \frac{dV}{dr} = \frac{\Delta P R}{2l} - \tau_f \quad \dots \dots \dots (7)$$

境界条件 $r = R \quad V = 0$

$$V = \frac{1}{\eta_{pl}} \left[\frac{\Delta P R}{8l} (R^2 - r^2) - \tau_f (R - r) \right] \quad \dots \dots \dots (8)$$

流量は図8を参照して

$$Q \leq Q_0 \quad (\text{外周部}) \quad Q_0 = \frac{\Delta P R l}{4 \eta_{pl}} R^2 (R - R_0)^2 \quad \dots \dots \dots (9)$$

$$R_0 = \tau_f \frac{2l}{\Delta P}$$

$$R_0 \leq R \leq R \quad Q = \frac{\Delta P R l}{8 \eta_{pl}} R^4 \left[1 - \frac{4}{3} \left(\frac{2 \tau_f l}{\Delta P R} \right) + \frac{1}{3} \left(\frac{2 \tau_f l}{\Delta P R} \right)^2 \right] \quad \dots \dots \dots (10)$$

管内流量は η_{pl} に逆比例し、 τ_f の影響は比較的少ない。従って、骨材の架構作用を無視すれば、ポンパビリーナーは主として η_{pl} に支配されるから、各種配合要素と η_{pl} の関係について検討することが必要である。図9は配合要素と η_{pl} との関係の例であって、 η_{pl} は配合要素が変ればスランプが一定の場合でも変化している。又なれば η_{pl} はコンクリートの軟度とは直接関係なく、セメントベーストの量や濃度などの配合要素に支配されるものであって、サスペンションの粘性と同様に取扱うことができる。

4 レオロジー解析の問題点

未だ固まらないコンクリートのレオロジー解析の研究は緒についたばかりで、前記(1), (2), (3)なども今後の研究課題である。中でもオーバーに検討を要す

図5 フィニッシュシャッピリーナーとコンシステンシー曲線

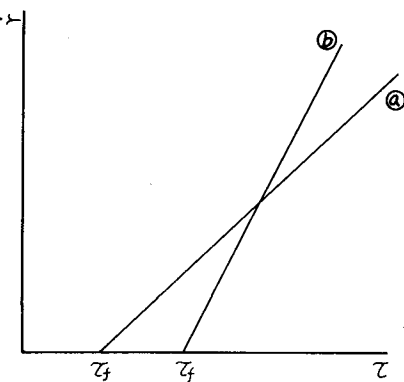


図6 フィニッシュシャッピリーナー改善用減水剤を用いたモルタルの η_{pl} と η_{pl}

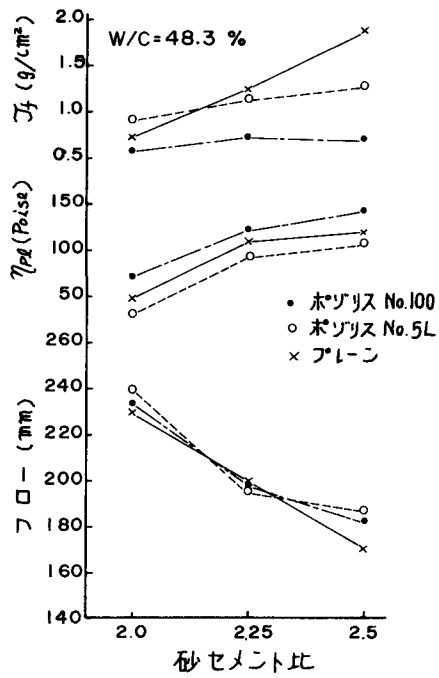


図7

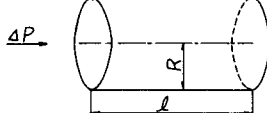
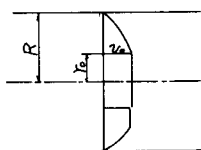


図8 ビンガム体の管内流速分布



3のは測定

装置である。

試作した回

転粘度計に

よ3実験結

果から粘度

計の設計に

ついて次の

事が明るか

となつた。

(1)内外

円筒の径及

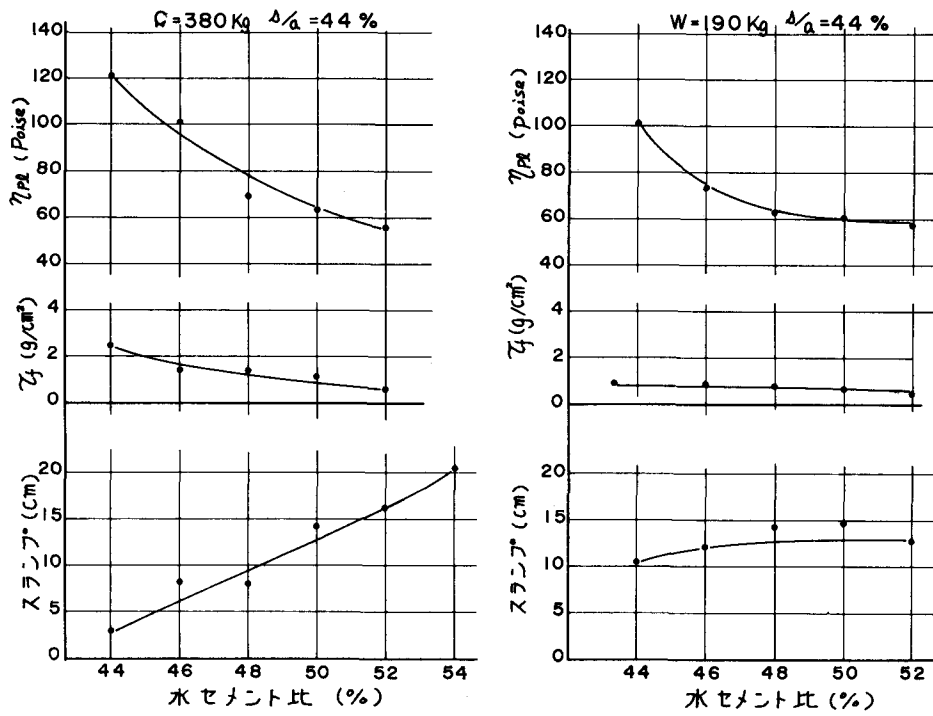
び長さ

$$t = R_o - R_i \geq 3.0$$

--- (1)

θ:粗骨材の

最大寸法



$$\frac{M_s}{M_0} = \left(\frac{R_i}{R_o} \right)^2 \frac{\tau_s}{\tau_f} \gg 1, \quad \frac{R_i}{R_o} \gg \sqrt{\frac{\tau_s}{\tau_f}} = 0.597 \quad \cdots \cdots (12) \quad \tau_s \approx 3\tau_f$$

$\theta \geq 25mm$ として、 $t \geq 8cm$ の場合の R_i , R_o の所要寸法を図10に示す。

ロータ底面と容器底面とは回転円板粘度計を構成するから、ロータ端末に吸収トルクが存在する。吸収トルクと全トルクの比は次式で与えられ、 h が長い程 M_e の影響は少い。しかし h を大にすると試

$$\frac{M_e}{M} = \left(\frac{1}{8} \frac{R_i}{h} \frac{R_o}{h} + \frac{1}{6} \frac{R_i}{h} \frac{\tau_f}{\eta_{ppl}} \right) / \left(\frac{1}{(R_i/R_o)^2 - 1} \left\{ 1 - \frac{\tau_f}{\eta_{ppl} R_i} \ln \frac{R_i}{R_o} \right\} \right) \quad \cdots \cdots (13)$$

料コンクリート量が多くなり分離もしやすくなる。それでロータ端末にスリップ材を押入して、 $M_e = 0$ とし、 h は任意長さとするのが得策である。

(2) 所要のトルク及び回転数

流動開始トルク: $M_f = 2\pi R_i^2 h \tau_f$, 全試料流動開始トルク: $M_0 = 2\pi R_o^2 h \tau_f$, 分離点トルク: $M_s = 2\pi R_i^2 h \tau_s$ から計算でき、 $2\pi R_o^2 h \tau_f$ 程度のコンクリートで、 $\tau_f = 5kg/cm$, $\tau_s = 16.5kg/cm^2$ である。

回転数は回転系のレオロジー方程式(5)より

$$\text{角速度 } \Omega_i = \frac{1}{2} \frac{\tau_s}{\eta_{ppl}} \left[\left(\frac{R_i}{R_o} \right)^2 - 1 \right] - \frac{\tau_f}{\eta_{ppl}} \ln \frac{R_i}{R_o} \quad \cdots \cdots (14)$$

$$\text{回転数 } N = \frac{\Omega_i}{2\pi} \times 60 \text{ rpm}$$

$$R_i/R_o = 0.6 \quad \Omega_i = 13.6 \quad N = 130 \text{ rpm}$$

図10 内外内筒の寸法

